

I-39 自由辺と部分固定辺を有する矩形板の曲げ

大阪市立大學 正員 倉田 宗 章
全 上 ○准員 岡村 宏 一

要旨 一矩形板が相対二辺に於て自由、残りの二辺が任意位置、任意長の固定区間を含む單純支持辺である場合につき、その曲げの一般解式を導き、計算例として、正方形板の対称曲げに対する解を得たので、実験結果と併せ報告する。

1. 周辺に單一曲げモーメントを受ける矩形板。図-1に示す様に、單純支持辺($x=0, x=a$)及び自由辺($y=0, y=b$)を有し、 $x=0, y=\eta$ なる處に單一モーメント M_h を受ける矩形板の挠度 W_h は、 (ξ, η) なる處に unit load を載せる場合の挠度を $\bar{W}(\xi, \eta, x, y)$ とすれば、

$$W_h = M_h \left| \frac{\partial \bar{W}}{\partial \xi} \right|_{\xi=0}$$

$$\bar{W} = \frac{M_h}{Dab} \sum_m \sum_n f_{mn}(y) \sin \beta_m \eta \cdot \sin d_m x \quad \text{---(1)}$$

但し $d_m = \frac{m\pi}{a}, \beta_m = \frac{n\pi}{b}, D = \text{板の曲げ剛度}, \nu = \text{ポアソン比}.$

$$f_{mn}(y) = \frac{\beta_m (\beta_m^2 + 2 - \nu)}{d_m (d_m^2 + \beta_m^2)} \left\{ E_m(d_m y \sinh d_m y - \frac{2}{1-\nu} \cosh d_m y) + F_m(\frac{1+\nu}{1-\nu} \sinh d_m y + d_m y \cosh d_m y) - \frac{A_{mn}}{1-\nu} \sinh d_m y \right\} + A_{mn} \sin \beta_m y \quad \text{---(2)}$$

$$\text{茲に } A_{mn} = \frac{4d_m}{(d_m^2 + \beta_m^2)^2},$$

$$E_m = \frac{\sum \{(1-\nu) \cosh d_m b - (\coth d_m b)\} \{3+\nu - (1-\nu) d_m b \cosh d_m b\} A_{mn}}{(3+\nu)^2 - \{(1-\nu) d_m b \cosh d_m b\}^2}, \quad \text{---(3)}$$

$$F_m = \frac{\sum \{3+\nu - (1-\nu) d_m b \cosh d_m b\} A_{mn}}{(3+\nu)^2 - \{(1-\nu) d_m b \cosh d_m b\}^2}.$$

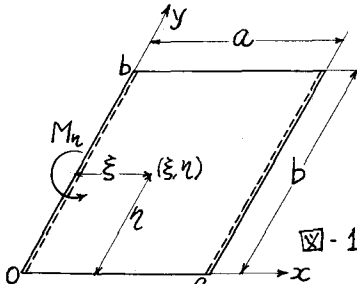


図-1

2. 部分固定条件を満足するための分布モーメント M_h を決定する方法。

(1)式より、 $x=0$ なる辺に沿い $y=\eta$ なる處の撓角は次の如く求められる。

$$\Theta_y = \left| \frac{\partial W_h}{\partial x} \right|_{x=0, y=\eta} = \frac{M_h}{Dab} \sum_m \sum_n d_m f_{mn}(y) \sin \beta_m \eta \quad \text{---(4)}$$

今 M_h が $b_1 < y < b_2$ なる範囲の分布モーメントである場合、辺($x=0$)上の撓角は(4)式より

$$\Theta_y = \frac{1}{Dab} \sum_m \sum_n d_m f_{mn}(y) \int_{b_1}^{b_2} M_h \sin \beta_m \eta \, d\eta \quad \text{---(5)}$$

初、上式中の分布モーメント M_h は次の如き三角級数に依て表示されるものと仮定する。

$$M_h = \sum_s B_s \sin \frac{s\pi(y-b_1)}{h} \quad \text{---(6)} \quad \text{但し } B_s \text{ は未定常数, } b_2 - b_1 = h$$

$$\text{然る時は(6)を(5)に代入すると, } \Theta_y = \frac{1}{Dab} \sum_s \sum_m \sum_n \frac{d_m \gamma_s B_s}{\beta_m^2 - \gamma_s^2} \{(-1)^s \sin \beta_m b_2 - \sin \beta_m b_1\} f_{mn}(y) \quad \text{---(7)}$$

$$\text{但し } \gamma_s = \frac{s\pi}{h}$$

初、全じ矩形板に於て所與の荷重による $x=0$ 辺上の撓角は次の如く表はされる。

$$\Theta'_y = \frac{1}{D} \sum_m \sum_n g_{mn}(y) \quad \text{---(8)} \quad \text{但し } g_{mn}(y) \text{ は(2)式に示す } f_{mn}(y) \text{ と同形のも}$$

のであるが、たゞ式中の A_{mn} は夫々の荷重状態に対して書き換えねばならぬ。例えば、

$$\text{等分布荷重に對しては, } A_{mn} = \frac{169d_m}{\pi^2(d_m^2 + \beta_m^2)^2 m n}, \quad \text{---(9)}$$

$$\text{突(}\xi, \eta'\text{)に作用する集中荷重に對しては, } A_{mn} = \frac{4Pd_m \sin d_m \xi' \sin \beta_m \eta'}{ab(d_m^2 + \beta_m^2)^2} \quad \text{---(9)}$$

故に $b_1 < y < b_2$ の区间に於て部分固定の條件を満足するためには、

$$\Theta_y + \Theta'_y = 0 \quad (b_1 < y < b_2) \quad \text{---(10)} \quad \text{が成立つ様に } B_s \text{ が決定出来れば問題は解決する。}$$

3. 未定常数 B_s の決定。函数 $f_{mn}(y)$ 及 $g_{mn}(y)$ は区間 $b_1 < y < b_2$ に於て次の如き Fourier 級数に展開される。

$$f_{mn}(y) = \sum_n C_{kn} \sin \frac{k\pi(y-b_1)}{h} \quad \text{--- (11)}$$

$$\theta_y = \frac{1}{Dab} \sum_s \sum_m \sum_n \frac{\alpha_{mn} B_s}{\beta_n^2 - \gamma_s^2} \{(-1)^s \sin \beta_n b_2 - \sin \beta_n b_1\} f_{kmn}^*(y) \quad \text{--- (7')}$$

茲 $f_{kmn}^*(y)$ は (11) の展開を行つたものであつて次の如く與えられる。即ち、 $\delta_{ke} = \frac{k\pi}{h}$ とし、

$$f_{kmn}^*(y) = \sum_k \frac{2\delta_{ke}}{h} \sin \delta_{ke}(y-b_1) \left[\frac{A_{mn}}{\beta_n - \delta_{ke}} \{(-1)^k \sin \beta_n b_2 - \sin \beta_n b_1\} - \frac{\beta_n}{\alpha_{mn} (\delta_{ke}^2 + \beta_n^2)} (\frac{\beta_n^2}{\delta_{ke}^2} + 2 - \nu) \phi_{kmn} \right] \quad \text{--- (12)}$$

但し、

$$\begin{aligned} \phi_{kmn} = & \left[\alpha_{mn} (-1)^k b_2 \sinh \delta_{ke} b_2 - b_1 \sinh \delta_{ke} b_1 \right] - 2 \left(\frac{\delta_{ke}^2}{\alpha_{mn}^2 + \delta_{ke}^2} + \frac{1}{1-\nu} \right) \{(-1)^k \cosh \delta_{ke} b_2 - \cosh \delta_{ke} b_1\} \right] E_m \\ & + \left[\alpha_{mn} (-1)^k b_2 \cosh \delta_{ke} b_2 - b_1 \cosh \delta_{ke} b_1 \right] - \left(\frac{2\delta_{ke}^2}{\alpha_{mn}^2 + \delta_{ke}^2} - \frac{1+\nu}{1-\nu} \right) \{(-1)^k \sinh \delta_{ke} b_2 - \sinh \delta_{ke} b_1\} \right] F_m - \frac{A_{mn}}{1-\nu} \{(-1)^k \sinh \delta_{ke} b_2 - \sinh \delta_{ke} b_1\} \end{aligned} \quad \text{--- (13)}$$

$g_{kmn}^*(y)$ は $f_{kmn}^*(y)$ に於て A_{mn} を所與の荷重状態に對し、例えば (9) の書き換えを行つて得る式である。故 $f_{kmn}^*(y)$ は $f_{kmn}(y)$ に於て A_{mn} を所與の荷重状態に對し、例えば (9) の書き換えを行つて得る式である。

$$\begin{aligned} ab \sum_s \sum_m \sum_n \frac{\alpha_{mn} B_s}{\beta_n^2 - \gamma_s^2} \{(-1)^s \sin \beta_n b_2 - \sin \beta_n b_1\} \left[\frac{A_{mn}}{\beta_n^2 - \delta_{ke}^2} \{(-1)^s \sin \beta_n b_2 - \sin \beta_n b_1\} - \frac{\beta_n}{\alpha_{mn} (\delta_{ke}^2 + \beta_n^2)} (\frac{\beta_n^2}{\delta_{ke}^2} + 2 - \nu) \phi_{kmn} \right] \\ = - \sum_m \sum_n \left(\frac{A_{mn}}{\beta_n^2 - \delta_{ke}^2} \{(-1)^s \sin \beta_n b_2 - \sin \beta_n b_1\} - \frac{\beta_n}{\alpha_{mn} (\delta_{ke}^2 + \beta_n^2)} (\frac{\beta_n^2}{\delta_{ke}^2} + 2 - \nu) \phi'_{kmn} \right) \quad \text{--- (10')} \end{aligned}$$

茲 ϕ'_{kmn} は ϕ_{kmn} に於て荷重状態に依り例えば (9) の書き換えを行つて得られるものとす。
(10') は未定常数 B_s に對し、無限連立1次方程式であつて、これより B_s を求むれば、分布モーメント (6) が決定出来る。

4. 部分固定辺 ($x=0$, $b_1 < y < b_2$ 区間固定) 及自由辺 ($y=0$, $y=b$) を有する板の撓度。

区間 $b_1 < y < b_2$ に於いて決定された分布モーメント M_h による板の撓度 W_M は (11) より

$$W_M = \frac{1}{Dab} \sum_s \sum_m \sum_n \frac{\gamma_s B_s}{\beta_n^2 - \gamma_s^2} \{(-1)^s \sin \beta_n b_2 - \sin \beta_n b_1\} f_{mn}(y) \sin \delta_{ke} x \quad \text{--- (14)}$$

之を荷重に依る撓度に superpose すると所題の板の撓度が得られる。

5. 計算例 下圖に示す如き正方形板の対称曲げ ($a = b$, 固定区間 $h = a/3$) の場合に就き數値的結果を示す、圖-2 に示すものは等分布荷重を受ける場合の等撓度曲線圖、圖-3 に示すものは同じ荷重を受ける場合の曲げモーメント圖である。

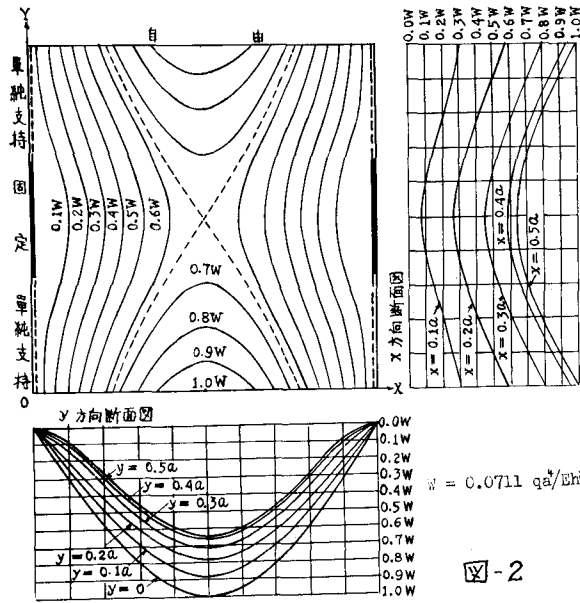


図-2

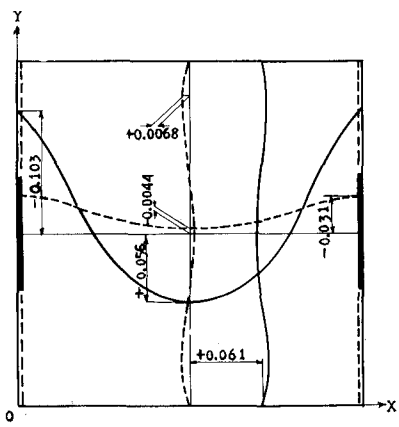


図-3